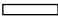




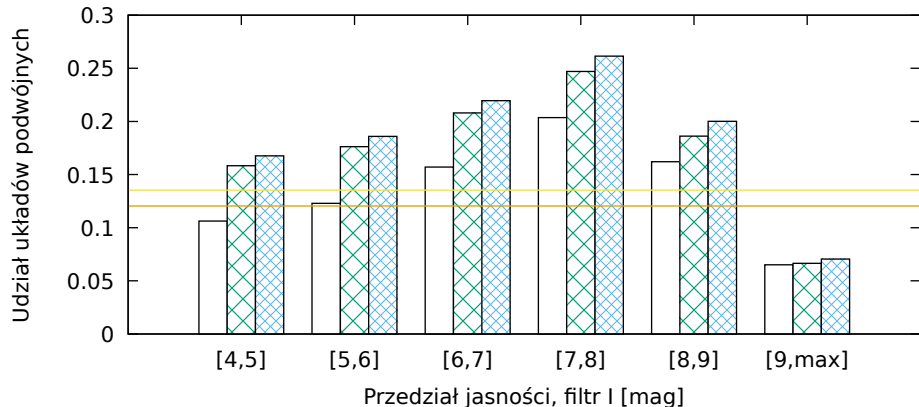
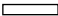






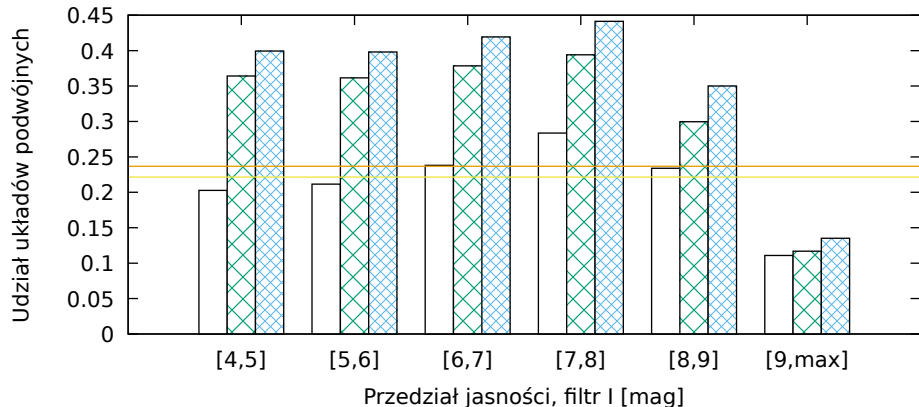
- MS-MS, $q > 0.5$ 
- układy MS-MS 
- MS-MS, MS-comp 
- f_{bin} globalne 
- MS-MS z $q > 0.5$ dla jasności [4,7] mag 

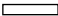




Rozkład f_{bin} w przedziałach jasności w filtrze I - diogo-ibp-original-1



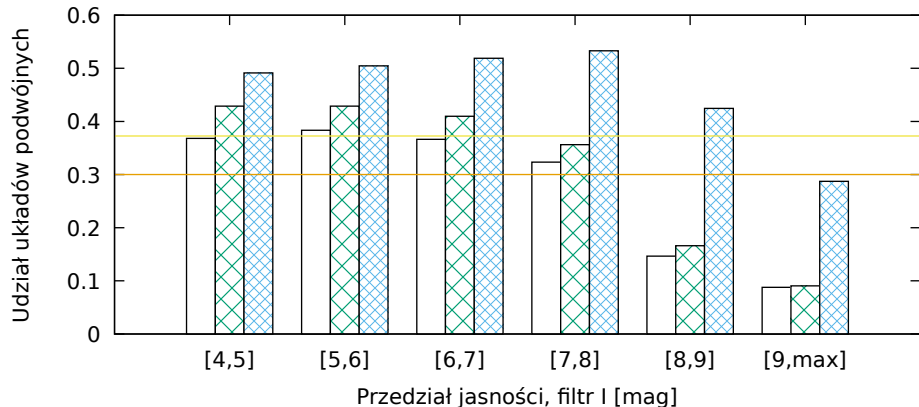
MS-MS, $q > 0.5$ 
 układy MS-MS 
 MS-MS, MS-comp 
 f_{bin} globalne 
 MS-MS z $q > 0.5$ dla jasności [4,7] mag 

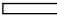



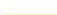
Rozkład f_{bin} w przedziałach jasności w filtrze I - diogo-ibp-original-2



MS-MS, $q > 0.5$ 
 układy MS-MS 
 MS-MS, MS-comp 
 f_{bin} globalne 
 MS-MS z $q > 0.5$ dla jasności [4,7] mag 

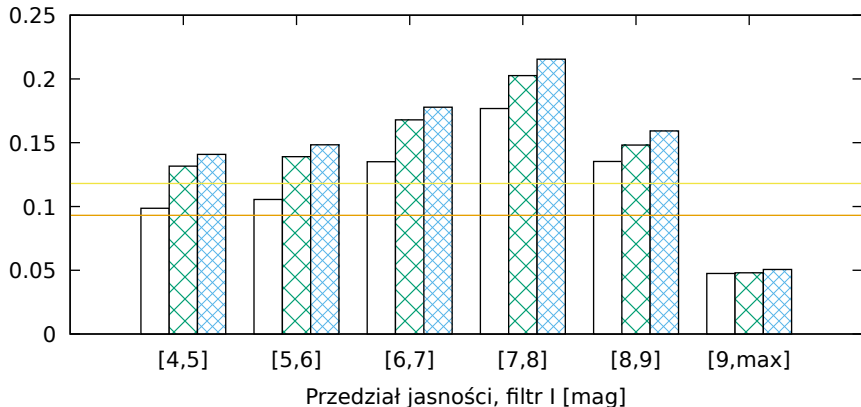
Rozkład f_{bin} w przedziałach jasności w filtrze I - diogo-ibp-original-3

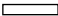






- MS-MS, $q > 0.5$ 
- układy MS-MS 
- MS-MS, MS-comp 
- f_{bin} globalne 
- MS-MS z $q > 0.5$ dla jasności [4,7] mag 

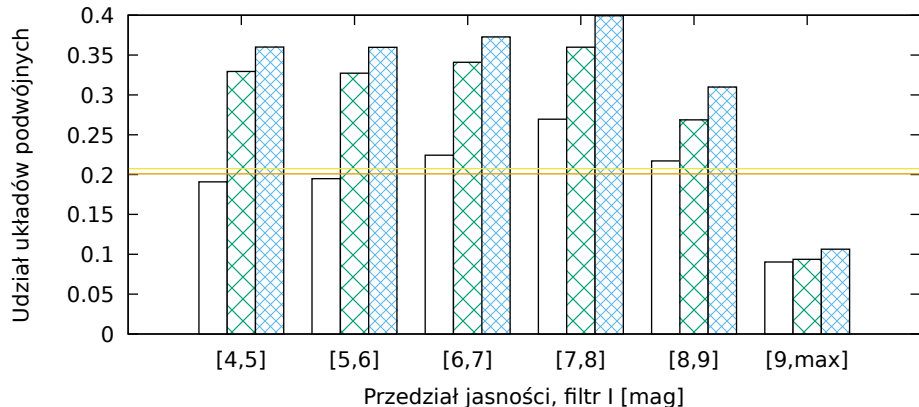
Rozkład f_{bin} w przedziałach jasności w filtrze I - diogo-ibp-original-4

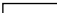




Udział układów podwójnych



- MS-MS, $q > 0.5$ 
- układy MS-MS 
- MS-MS, MS-comp 
- f_{bin} globalne 
- MS-MS z $q > 0.5$ dla jasności [4,7] mag 

Rozkład f_{bin} w przedziałach jasności w filtrze I - diogo-ibp-original-5



MS-MS, $q > 0.5$ 
 układy MS-MS 
 MS-MS, MS-comp 
 f_{bin} globalne 
 MS-MS z $q > 0.5$ dla jasności [4,7] mag 

Rozkład f_{bin} w przedziałach jasności w filtrze I - diogo-ibp-original-6

Udział układów podwójnych

